

Portanto,

$$15 \quad W = \frac{1}{2}m|\mathbf{v}(b)|^2 - \frac{1}{2}m|\mathbf{v}(a)|^2$$

onde $\mathbf{v} = \mathbf{r}'$ é a velocidade.

A quantidade $\frac{1}{2}m|\mathbf{v}(t)|^2$, ou seja, a metade da massa multiplicada pelo quadrado da velocidade escalar, é chamada **energia cinética** do objeto. Portanto, podemos reescrever a Equação 15 como

$$16 \quad W = K(B) - K(A)$$

que diz que o trabalho realizado pelo campo de forças ao longo do caminho C é igual à variação da energia cinética nas extremidades de C .

Agora vamos admitir que \mathbf{F} seja um campo de forças conservativo, ou seja, podemos escrever $\mathbf{F} = \nabla f$. Em física, a **energia potencial** de um objeto no ponto de (x, y, z) é definida como $P(x, y, z) = -f(x, y, z)$, portanto temos $\mathbf{F} = -\nabla P$. Então, pelo Teorema 2, temos

$$W = \int_C \mathbf{F} \cdot d\mathbf{r} = -\int_C \nabla P \cdot d\mathbf{r} = -[P(\mathbf{r}(b)) - P(\mathbf{r}(a))] = P(A) - P(B)$$

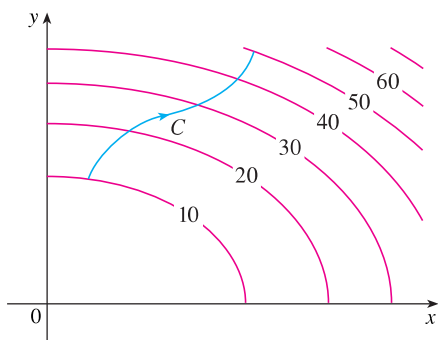
Comparando essa equação com a Equação 16, vemos que

$$P(A) + K(A) = P(B) + K(B)$$

que diz que, se um objeto se move de um ponto A para outro B sob a influência de um campo de forças conservativo, então a soma de sua energia potencial e sua energia cinética permanece constante. Essa é a chamada **Lei da Conservação de Energia** e é a razão pela qual o campo vetorial é denominado *conservativo*.

16.3 Exercícios

1. A figura mostra uma curva C e um mapa de contorno de uma função f cujo gradiente é contínuo. Determine $\int_C \nabla f \cdot d\mathbf{r}$.



2. É dada uma tabela de valores de uma função f com gradiente contínuo. Determine $\int_C \nabla f \cdot d\mathbf{r}$, onde C tem equações paramétricas

$$x = t^2 + 1, \quad y = t^3 + t, \quad 0 \leq t \leq 1.$$

$x \backslash y$	0	1	2
0	1	6	4
1	3	5	7
2	8	2	9

3–10 Determine se \mathbf{F} é ou não um campo vetorial conservador. Se for, determine uma função f tal que $\mathbf{F} = \nabla f$.

3. $\mathbf{F}(x, y) = (2x - 3y)\mathbf{i} + (-3x + 4y - 8)\mathbf{j}$

4. $\mathbf{F}(x, y) = e^x \sin y \mathbf{i} + e^x \cos y \mathbf{j}$

5. $\mathbf{F}(x, y) = e^x \cos y \mathbf{i} + e^x \sin y \mathbf{j}$

6. $\mathbf{F}(x, y) = (3x^2 - 2y^2)\mathbf{i} + (4xy + 3)\mathbf{j}$

7. $\mathbf{F}(x, y) = (ye^x + \sin y)\mathbf{i} + (e^x + x \cos y)\mathbf{j}$

8. $\mathbf{F}(x, y) = (2xy + y^{-2})\mathbf{i} + (x^2 - 2xy^{-3})\mathbf{j}, y < 0$

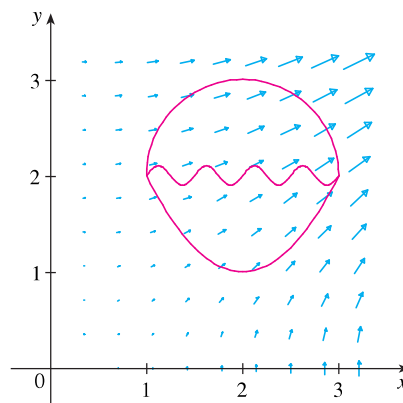
9. $\mathbf{F}(x, y) = (\ln y + 2xy^3)\mathbf{i} + (3x^2y^2 + x/y)\mathbf{j}$

10. $\mathbf{F}(x, y) = (xy \cosh xy + \sinh xy)\mathbf{i} + (x^2 \cosh xy)\mathbf{j}$

11. A figura mostra o campo vetorial $\mathbf{F}(x, y) = \langle 2xy, x^2 \rangle$ e três curvas que começam em $(1, 2)$ e terminam em $(3, 2)$.

(a) Explique por que $\int_C \mathbf{F} \cdot d\mathbf{r}$ tem o mesmo valor para as três curvas.

(b) Qual é esse valor comum?



12–18 (a) Determine uma função f tal que $\mathbf{F} = \nabla f$ e (b) use a parte (a) para calcular $\int_C \mathbf{F} \cdot d\mathbf{r}$ sobre a curva C dada.

12. $\mathbf{F}(x, y) = x^2 \mathbf{i} + y^2 \mathbf{j}$,
 C é o arco da parábola $y = 2x^2$ de $(-1, 2)$ a $(2, 8)$

13. $\mathbf{F}(x, y) = xy^2 \mathbf{i} + x^2y \mathbf{j}$,
 $C: \mathbf{r}(t) = \langle t + \sin \frac{1}{2}\pi t, t + \cos \frac{1}{2}\pi t \rangle, 0 \leq t \leq 1$

14. $\mathbf{F}(x, y) = (1 + xy)e^{xy} \mathbf{i} + x^2e^{xy} \mathbf{j}$,
 $C: \mathbf{r}(t) = \cos t \mathbf{i} + 2 \sin t \mathbf{j}, 0 \leq t \leq \pi/2$

15. $\mathbf{F}(x, y, z) = yz \mathbf{i} + xz \mathbf{j} + (xy + 2z) \mathbf{k}$,
 C é o segmento de reta de $(1, 0, -2)$ a $(4, 6, 3)$

16. $\mathbf{F}(x, y, z) = (y^2z + 2xz^2) \mathbf{i} + 2xyz \mathbf{j} + (xy^2 + 2x^2z) \mathbf{k}$,
 $C: x = \sqrt{t}, y = t + 1, z = t^2, 0 \leq t \leq 1$

17. $\mathbf{F}(x, y, z) = yze^{xz} \mathbf{i} + e^{xz} \mathbf{j} + xye^{xz} \mathbf{k}$,
 $C: \mathbf{r}(t) = (t^2 + 1) \mathbf{i} + (t^2 - 1) \mathbf{j} + (t^2 - 2t) \mathbf{k}, 0 \leq t \leq 2$

18. $\mathbf{F}(x, y, z) = \sin y \mathbf{i} + (x \cos y + \cos z) \mathbf{j} - y \sin z \mathbf{k}$,
 $C: \mathbf{r}(t) = \sin t \mathbf{i} + t \mathbf{j} + 2t \mathbf{k}, 0 \leq t \leq \pi/2$

19–20 Mostre que a integral de linha é independente do caminho e calcule a integral.

19. $\int_C \tan y \, dx + x \sec^2 y \, dy$,
 C é qualquer caminho de $(1, 0)$ a $(2, \pi/4)$

20. $\int_C (1 - ye^{-x}) \, dx + e^{-x} \, dy$,
 C é qualquer caminho de $(0, 1)$ a $(1, 2)$

21. Suponha que você seja solicitado a determinar a curva que exige o mínimo de trabalho para um campo de força \mathbf{F} para mover uma partícula de um ponto a outro ponto. Você decide verificar primeiro se \mathbf{F} é conservativo, e de fato verifica-se que ela é. Como você responde à solicitação?

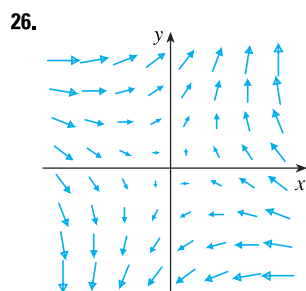
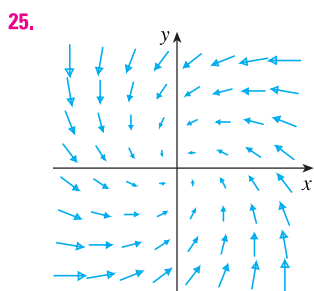
22. Suponhamos que uma experiência determine que a quantidade de trabalho necessária para um campo de força \mathbf{F} para mover uma partícula do ponto $(1, 2)$ para o ponto de $(5, -3)$ ao longo de uma curva C_1 é de $1,2 \mathbf{J}$ e do trabalho realizado por \mathbf{F} em mover a partícula ao longo de outra curva C_2 entre os mesmos dois pontos é de $1,4 \mathbf{J}$. O que você pode dizer sobre \mathbf{F} ? Por quê?

23–24 Determine o trabalho realizado pelo campo de força \mathbf{F} ao mover um objeto de P para Q .

23. $\mathbf{F}(x, y) = 2y^{3/2} \mathbf{i} + 3x\sqrt{y} \mathbf{j}$; $P(1, 1), Q(2, 4)$

24. $\mathbf{F}(x, y) = e^{-y} \mathbf{i} - xe^{-y} \mathbf{j}$; $P(0, 1), Q(2, 0)$

25–26 A partir do gráfico de \mathbf{F} você diria que o campo é conservativo? Explique.



27. Se $\mathbf{F}(x, y) = \sin y \mathbf{i} + (1 + x \cos y) \mathbf{j}$, use um gráfico para conjecturar se \mathbf{F} é conservativo. Então, determine se sua conjectura estava correta.

28. Seja $\mathbf{F} = \nabla f$, onde $f(x, y) = \sin(x - 2y)$. Encontre curvas C_1 e C_2 que não sejam fechadas e satisfaçam a equação.

(a) $\int_{C_1} \mathbf{F} \cdot d\mathbf{r} = 0$ (b) $\int_{C_2} \mathbf{F} \cdot d\mathbf{r} = 1$

29. Mostre que, se um campo vetorial $\mathbf{F} = P \mathbf{i} + Q \mathbf{j} + R \mathbf{k}$ é conservativo e P, Q, R têm derivadas parciais de primeira ordem contínuas, então

$$\frac{\partial P}{\partial y} = \frac{\partial Q}{\partial x} \quad \frac{\partial P}{\partial z} = \frac{\partial R}{\partial x} \quad \frac{\partial Q}{\partial z} = \frac{\partial R}{\partial y}$$

30. Use o Exercício 29 para mostrar que a integral de linha $\int_C y \, dx + x \, dy + xyz \, dz$ não é independente do caminho.

31–34 Determine se o conjunto dado é ou não: (a) aberto, (b) conexo por caminhos e (c) simplesmente conexo.

31. $\{(x, y) | 0 < y < 3\}$ **32.** $\{(x, y) | 1 < |x| < 2\}$

33. $\{(x, y) | 1 \leq x^2 + y^2 \leq 4, y \geq 0\}$

34. $\{(x, y) | (x, y) \neq (2, 3)\}$

35. Seja $\mathbf{F}(x, y) = \frac{-y \mathbf{i} + x \mathbf{j}}{x^2 + y^2}$.

(a) Mostre que $\partial P / \partial y = \partial Q / \partial x$.

(b) Mostre que $\int_C \mathbf{F} \cdot d\mathbf{r}$ não é independente do caminho. [Dica: Calcule $\int_{C_1} \mathbf{F} \cdot d\mathbf{r}$ e $\int_{C_2} \mathbf{F} \cdot d\mathbf{r}$, onde C_1 e C_2 são as metades superior e inferior do círculo $x^2 + y^2 = 1$ de $(1, 0)$ a $(-1, 0)$.] Isto contradiz o Teorema 6?

36. (a) Suponha que \mathbf{F} seja um campo vetorial inverso do quadrado, ou seja,

$$\mathbf{F}(\mathbf{r}) = \frac{c\mathbf{r}}{|\mathbf{r}|^3}$$

para alguma constante c , onde $\mathbf{r} = x \mathbf{i} + y \mathbf{j} + z \mathbf{k}$. Determine o trabalho realizado por \mathbf{F} ao mover um objeto de um ponto P_1 por um caminho para um ponto P_2 em termos da distância d_1 e d_2 desses pontos à origem.

(b) Um exemplo de um campo de quadrado inverso é o campo gravitacional $\mathbf{F} = -(mMG)\mathbf{r}/|\mathbf{r}|^3$ discutido no Exemplo 4 na Seção 16.1. Use a parte (a) para determinar o trabalho realizado pelo campo gravitacional quando a Terra se move do afélio (em uma distância máxima de $1,52 \times 10^8$ km do Sol) ao periélio (em uma distância mínima de $1,47 \times 10^8$ km). (Use os valores $m = 5,97 \times 10^{24}$ kg, $M = 1,99 \times 10^{30}$ kg e $G = 6,67 \times 10^{-11}$ N·m²/kg².)

(b) Outro exemplo de campo inverso do quadrado é o campo elétrico $\mathbf{F} = eqQ\mathbf{r}/|\mathbf{r}|^3$ discutido no Exemplo 5 da Seção 16.1. Suponha que um elétron com carga de $-1,6 \times 10^{-19}$ C esteja localizado na origem. Uma carga positiva unitária é colocada à distância de 10^{-12} m do elétron e se move para uma posição que está à metade da distância original do elétron. Use a parte (a) para determinar o trabalho realizado pelo campo elétrico. (Use o valor $\epsilon = 8,985 \times 10^9$.)

EXEMPLO 5 Se $\mathbf{F}(x, y) = (-y \mathbf{i} + x \mathbf{j})/(x^2 + y^2)$, mostre que $\int_C \mathbf{F} \cdot d\mathbf{r} = 2\pi$ para todo caminho fechado simples que circunde a origem.

SOLUÇÃO Como C é um caminho fechado *arbitrário* contendo a origem em seu interior, é difícil calcular a integral dada diretamente. Então, vamos considerar um círculo anti-horário orientado C' com origem no centro e raio a , onde a é escolhido para ser pequeno o suficiente para que C' esteja contido em C (ver Figura 11). Seja D a região limitada por C e C' . Então a orientação positiva do limite é $C \cup (-C')$ e, aplicando a versão geral do Teorema de Green, temos

$$\begin{aligned} \int_C P dx + Q dy + \int_{-C'} P dx + Q dy &= \iint_D \left(\frac{\partial Q}{\partial x} - \frac{\partial P}{\partial y} \right) dA \\ &= \iint_D \left[\frac{y^2 - x^2}{(x^2 + y^2)^2} - \frac{y^2 - x^2}{(x^2 + y^2)^2} \right] dA = 0 \end{aligned}$$

Logo,
$$\int_C P dx + Q dy = \int_{C'} P dx + Q dy$$

isto é,
$$\int_C \mathbf{F} \cdot d\mathbf{r} = \int_{C'} \mathbf{F} \cdot d\mathbf{r}$$

Agora podemos calcular facilmente essa última integral usando a parametrização dada por $\mathbf{r}(t) = a \cos t \mathbf{i} + a \sin t \mathbf{j}$, $0 \leq t \leq 2\pi$. Logo,

$$\begin{aligned} \int_C \mathbf{F} \cdot d\mathbf{r} &= \int_{C'} \mathbf{F} \cdot d\mathbf{r} = \int_0^{2\pi} \mathbf{F}(\mathbf{r}(t)) \cdot \mathbf{r}'(t) dt \\ &= \int_0^{2\pi} \frac{(-a \sin t)(-a \sin t) + (a \cos t)(a \cos t)}{a^2 \cos^2 t + a^2 \sin^2 t} dt = \int_0^{2\pi} dt = 2\pi \end{aligned}$$

Terminaremos esta seção utilizando o Teorema de Green para discutir um resultado enunciado na seção anterior.

ESBOÇO DA DEMONSTRAÇÃO DO TEOREMA 16.3.6 Assumimos que $\mathbf{F} = P \mathbf{i} + Q \mathbf{j}$ é um campo vetorial em uma região simplesmente conexa D , que P e Q têm derivadas parciais de primeira ordem contínuas e que

$$\frac{\partial P}{\partial y} = \frac{\partial Q}{\partial x} \quad \text{em todo o } D$$

Se C é um caminho fechado simples qualquer em D e R é a região envolvida por C , o Teorema de Green nos dá

$$\oint_C \mathbf{F} \cdot d\mathbf{r} = \oint_C P dx + Q dy = \iint_R \left(\frac{\partial Q}{\partial x} - \frac{\partial P}{\partial y} \right) dA = \iint_R 0 dA = 0$$

Uma curva que não seja simples se autointercepta em um ou mais pontos e pode ser dividida em diversas curvas fechadas simples. Mostramos que as integrais de linha de \mathbf{F} sobre essas curvas simples são todas 0 e, somando essas integrais, podemos ver que $\int_C \mathbf{F} \cdot d\mathbf{r} = 0$ para qualquer curva fechada C . Portanto, $\int_C \mathbf{F} \cdot d\mathbf{r}$ é independente do caminho em D pelo Teorema 16.3.3. Segue então que \mathbf{F} é um campo vetorial conservativo.

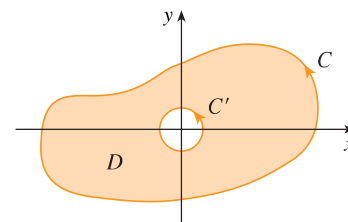


FIGURA 11

16.4 Exercícios

1–4 Calcule a integral de linha por dois métodos: (a) diretamente e (b) utilizando o Teorema de Green.

1. $\oint_C (x - y) dx + (x + y) dy$,
 C é o círculo com centro na origem e raio 2

2. $\oint_C xy dx + x^2 dy$,
 C é o retângulo com vértices $(0, 0)$, $(3, 0)$, $(3, 1)$ e $(0, 1)$

3. $\oint_C xy dx + x^2 y^3 dy$,
 C é o triângulo com vértices $(0, 0)$, $(1, 0)$ e $(1, 2)$

4. $\oint_C x^2 y^2 dx + xy dy$, C consiste no arco da parábola $y = x^2$ de $(0, 0)$ a $(1, 1)$ e os segmentos de reta de $(1, 1)$ a $(0, 1)$ e de $(0, 1)$ a $(0, 0)$

5–10 Use o Teorema de Green para calcular a integral de linha ao longo da curva dada com orientação positiva.

5. $\int_C xy^2 dx + 2x^2 y dy$,
 C é o triângulo com vértices $(0, 0)$, $(2, 2)$ e $(2, 4)$

É necessário usar uma calculadora gráfica ou computador

É necessário usar um sistema de computação algébrica

1. As Homework Hints estão disponíveis em www.stewartcalculus.com

6. $\int_C \cos y \, dx + x^2 \sin y \, dy$,
 C é o retângulo com vértices $(0, 0)$, $(5, 0)$, $(5, 2)$ e $(0, 2)$
7. $\int_C (y + e^{\sqrt{x}}) \, dx + (2x + \cos y^2) \, dy$,
 C é o limite da região englobada pelas parábolas $y = x^2$ e $x = y^2$
8. $\int_C xe^{-2x} \, dx + (x^4 + 2x^2y^2) \, dy$, C é o limite da região entre os círculos $x^2 + y^2 = 1$ e $x^2 + y^2 = 4$
9. $\int_C y^3 \, dx - x^3 \, dy$, C é o círculo $x^2 + y^2 = 4$
10. $\int_C (1 - y^3) \, dx + (x^3 + e^{y^2}) \, dy$, C é o limite da região entre os círculos $x^2 + y^2 = 4$ e $x^2 + y^2 = 9$

11–14 Use o teorema de Green para calcular $\int_C \mathbf{F} \cdot d\mathbf{r}$. (Verifique a orientação da curva antes de aplicar o teorema.)

11. $\mathbf{F}(x, y) = \langle y \cos x - xy \sin x, xy + x \cos x \rangle$,
 C é o triângulo de $(0, 0)$ a $(0, 4)$ a $(2, 0)$ a $(0, 0)$
12. $\mathbf{F}(x, y) = \langle e^{-x} + y^2, e^{-y} + x^2 \rangle$,
 C consiste no arco da curva $y = \cos x$ de $(-\pi/2, 0)$ a $(\pi/2, 0)$ e o segmento de reta de $(\pi/2, 0)$ a $(-\pi/2, 0)$
13. $\mathbf{F}(x, y) = \langle y - \cos y, x \sin y \rangle$,
 C é o círculo $(x - 3)^2 + (y + 4)^2 = 4$ orientado no sentido horário
14. $\mathbf{F}(x, y) = \langle \sqrt{x^2 + 1}, \tan^{-1} x \rangle$, C é o triângulo de $(0, 0)$ a $(1, 1)$ a $(0, 1)$ a $(0, 0)$

SCA 15–16 Verifique o Teorema de Green usando um sistema de computação algébrica para calcular tanto a integral de linha como a integral dupla.

15. $P(x, y) = y^2 e^x$, $Q(x, y) = x^2 e^y$,
 C consiste no segmento de reta de $(-1, 1)$ a $(1, 1)$ seguido pelo arco da parábola $y = 2 - x^2$ de $(1, 1)$ a $(-1, 1)$
16. $P(x, y) = 2x - x^3 y^5$, $Q(x, y) = x^3 y^8$,
 C é a elipse $4x^2 + y^2 = 4$

17. Use o Teorema de Green para achar o trabalho realizado pela força $\mathbf{F}(x, y) = x(x + y) \mathbf{i} + xy^2 \mathbf{j}$ ao mover uma partícula da origem ao longo do eixo x para $(1, 0)$, em seguida ao longo de um segmento de reta até $(0, 1)$, e então de volta à origem ao longo do eixo y .
18. Uma partícula inicialmente no ponto $(-2, 0)$ se move ao longo do eixo x para $(2, 0)$, e então ao longo da semicircunferência $y = \sqrt{4 - x^2}$ até o ponto inicial. Utilize o Teorema de Green para determinar o trabalho realizado nessa partícula pelo campo de força $\mathbf{F}(x, y) = \langle x, x^3 + 3xy^2 \rangle$.
19. Use uma das fórmulas em [5] para achar a área sob um arco da cicloide $x = t - \sin t$, $y = 1 - \cos t$.



20. Se uma circunferência C de raio 1 rola ao longo do interior da circunferência $x^2 + y^2 = 16$, um ponto fixo P de C descreve uma curva chamada *epicicloide*, com equações paramétricas $x = 5 \cos t - \cos 5t$, $y = 5 \sin t - \sin 5t$. Faça o gráfico da epicicloide e use [5] para calcular a área da região que ela envolve.
21. (a) Se C é o segmento de reta ligando o ponto (x_1, y_1) ao ponto (x_2, y_2) , mostre que

$$\int_C x \, dy - y \, dx = x_1 y_2 - x_2 y_1$$

- (b) Se os vértices de um polígono, em sentido anti-horário, são (x_1, y_1) , (x_2, y_2) , \dots , (x_n, y_n) mostre que a área do polígono é

$$A = \frac{1}{2} [(x_1 y_2 - x_2 y_1) + (x_2 y_3 - x_3 y_2) + \dots + (x_{n-1} y_n - x_n y_{n-1}) + (x_n y_1 - x_1 y_n)]$$

- (c) Encontre a área do pentágono com vértices $(0, 0)$, $(2, 1)$, $(1, 3)$, $(0, 2)$ e $(-1, 1)$.

22. Seja D a região limitada por um caminho fechado simples C no plano xy . Utilize o Teorema de Green para demonstrar que as coordenadas do centroide (\bar{x}, \bar{y}) de D são

$$\bar{x} = \frac{1}{2A} \oint_C x^2 \, dy \quad \bar{y} = -\frac{1}{2A} \oint_C y^2 \, dx$$

onde A é a área de D .

23. Use o Exercício 22 para encontrar o centroide de um quarto de uma região circular de raio a .
24. Use o Exercício 22 para encontrar o centroide da região triangular de vértices $(0, 0)$, $(a, 0)$ e (a, b) , onde $a > 0$ e $b > 0$.
25. Uma lâmina plana com densidade constante $\rho(x, y) = \rho$ ocupa uma região do plano xy limitada por um caminho fechado simples C . Mostre que seus momentos de inércia em relação aos eixos são

$$I_x = -\frac{\rho}{3} \oint_C y^3 \, dx \quad I_y = \frac{\rho}{3} \oint_C x^3 \, dy$$

26. Utilize o Exercício 25 para achar o momento de inércia de um círculo de raio a com densidade constante ρ em relação a um diâmetro. (Compare com o Exemplo 4 da Seção 15.5.)
27. Use o método do Exercício 5 para calcular $\int_C \mathbf{F} \cdot d\mathbf{r}$, onde

$$\mathbf{F}(x, y) = \frac{2xy \mathbf{i} + (y^2 - x^2) \mathbf{j}}{(x^2 + y^2)^2}$$

e C é qualquer curva fechada simples positivamente orientada que envolve a origem.

28. Calcule $\int_C \mathbf{F} \cdot d\mathbf{r}$, onde $\mathbf{F}(x, y) = \langle x^2 + y, 3x - y^2 \rangle$ e C é a fronteira positivamente orientada de uma região D que tem área 6.
29. Se \mathbf{F} é o campo vetorial do Exemplo 5, mostre que $\int_C \mathbf{F} \cdot d\mathbf{r} = 0$ para todo caminho fechado simples que não passe pela origem e nem a circunde.
30. Complete a demonstração do Teorema de Green demonstrando a Equação 3.
31. Utilize o Teorema de Green para demonstrar a fórmula de mudança de variáveis para as integrais duplas (Fórmula 15.10.9) para o caso onde $f(x, y) = 1$:

$$\iint_R dx \, dy = \iint_S \left| \frac{\partial(x, y)}{\partial(u, v)} \right| du \, dv$$

Aqui, R é a região do plano xy que corresponde à região S no plano uv sob a transformação dada por $x = g(u, v)$, $y = h(u, v)$. [Dica: Observe que o lado esquerdo é $A(R)$ e aplique a primeira parte da Equação 5. Converta a integral de linha sobre ∂R para uma integral sobre ∂S e aplique o Teorema de Green no plano uv .]

Portanto,

$$(\text{rot } \mathbf{F}) \cdot \mathbf{k} = \left(\frac{\partial Q}{\partial x} - \frac{\partial P}{\partial y} \right) \mathbf{k} \cdot \mathbf{k} = \frac{\partial Q}{\partial x} - \frac{\partial P}{\partial y}$$

e podemos reescrever a equação do Teorema de Green na forma vetorial

$$\boxed{12} \quad \oint_C \mathbf{F} \cdot d\mathbf{r} = \iint_D (\text{rot } \mathbf{F}) \cdot \mathbf{k} \, dA$$

A Equação 12 expressa a integral de linha da componente tangencial de \mathbf{F} ao longo de C como uma integral dupla da componente vertical rotacional \mathbf{F} sobre a região D delimitada por C . Vamos deduzir, agora, uma fórmula semelhante, envolvendo a componente *normal* de \mathbf{F} .

Se C é dada pela equação vetorial

$$\mathbf{r}(t) = x(t)\mathbf{i} + y(t)\mathbf{j} \quad a \leq t \leq b$$

então o vetor tangente unitário (veja a Seção 13.2) é

$$\mathbf{T}(t) = \frac{x'(t)}{|\mathbf{r}'(t)|} \mathbf{i} + \frac{y'(t)}{|\mathbf{r}'(t)|} \mathbf{j}$$

Você pode verificar que o vetor normal unitário externo a C é dado por

$$\mathbf{n}(t) = \frac{y'(t)}{|\mathbf{r}'(t)|} \mathbf{i} - \frac{x'(t)}{|\mathbf{r}'(t)|} \mathbf{j}$$

(Veja a Figura 2). Então, da Equação 16.2.3, temos

$$\begin{aligned} \oint_C \mathbf{F} \cdot \mathbf{n} \, ds &= \int_a^b (\mathbf{F} \cdot \mathbf{n})(t) |\mathbf{r}'(t)| \, dt \\ &= \int_a^b \left[\frac{P(x(t), y(t)) y'(t)}{|\mathbf{r}'(t)|} - \frac{Q(x(t), y(t)) x'(t)}{|\mathbf{r}'(t)|} \right] |\mathbf{r}'(t)| \, dt \\ &= \int_a^b P(x(t), y(t)) y'(t) \, dt - Q(x(t), y(t)) x'(t) \, dt \\ &= \int_C P \, dy - Q \, dx = \iint_D \left(\frac{\partial P}{\partial x} + \frac{\partial Q}{\partial y} \right) dA \end{aligned}$$

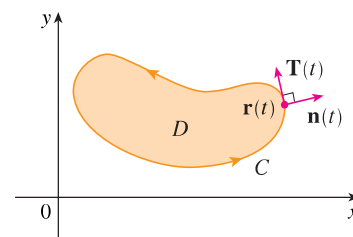


FIGURA 2

pelo Teorema de Green. Mas o integrando na integral dupla é o divergente de \mathbf{F} . Logo, temos uma segunda forma vetorial do Teorema de Green:

$$\boxed{13} \quad \oint_C \mathbf{F} \cdot \mathbf{n} \, ds = \iint_D \text{div } \mathbf{F}(x, y) \, dA$$

Essa versão diz que a integral de linha da componente normal de \mathbf{F} ao longo de C é igual à integral dupla do divergente de \mathbf{F} na região D delimitada por C .

16.5 Exercícios

1–8 Determine (a) o rotacional e (b) o divergente do campo vetorial.

1. $\mathbf{F}(x, y, z) = xyz \mathbf{i} - x^2 y \mathbf{k}$

2. $\mathbf{F}(x, y, z) = x^2 yz \mathbf{i} + xy^2 z \mathbf{j} + xyz^2 \mathbf{k}$

3. $\mathbf{F}(x, y, z) = xye^z \mathbf{i} + yze^x \mathbf{k}$

4. $\mathbf{F}(x, y, z) = \sin yz \mathbf{i} + \sin zx \mathbf{j} + \sin xy \mathbf{k}$

5. $\mathbf{F}(x, y, z) = \frac{1}{\sqrt{x^2 + y^2 + z^2}} (x \mathbf{i} + y \mathbf{j} + z \mathbf{k})$

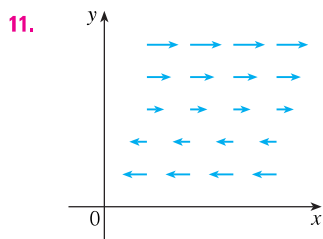
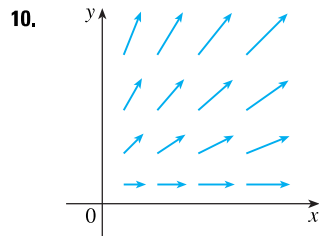
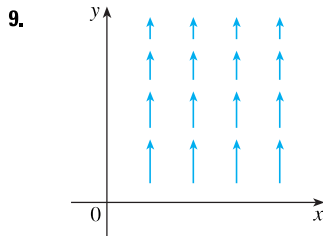
6. $\mathbf{F}(x, y, z) = e^{xy} \sin z \mathbf{j} + y \tan^{-1}(x/z) \mathbf{k}$

7. $\mathbf{F}(x, y, z) = \langle e^x \sin y, e^y \sin z, e^z \sin x \rangle$

8. $\mathbf{F}(x, y, z) = \left\langle \frac{x}{y}, \frac{y}{z}, \frac{z}{x} \right\rangle$

9–11 O campo vetorial \mathbf{F} é mostrado no plano xy e é o mesmo em todos os planos horizontais (em outras palavras, \mathbf{F} é independente de z e sua componente z é 0).

- (a) O $\text{div } \mathbf{F}$ será positivo, negativo ou nulo? Explique.
 (b) Determine se $\text{rot } \mathbf{F} = \mathbf{0}$. Se não, em que direção $\text{rot } \mathbf{F}$ aponta?



12. Seja f um campo escalar e \mathbf{F} um campo vetorial. Diga se cada expressão tem significado. Em caso negativo, explique por quê. Em caso afirmativo, diga se é um campo vetorial ou escalar.

- | | |
|--|--|
| (a) $\text{rot } f$ | (b) $\text{grad } f$ |
| (c) $\text{div } \mathbf{F}$ | (d) $\text{rot}(\text{grad } f)$ |
| (e) $\text{grad } \mathbf{F}$ | (f) $\text{grad}(\text{div } \mathbf{F})$ |
| (g) $\text{div}(\text{grad } f)$ | (h) $\text{grad}(\text{div } f)$ |
| (i) $\text{rot}(\text{rot } \mathbf{F})$ | (j) $\text{div}(\text{div } \mathbf{F})$ |
| (k) $(\text{grad } f) \times (\text{div } \mathbf{F})$ | (l) $\text{div}(\text{rot}(\text{grad } f))$ |

13–18 Determine se o campo vetorial é conservativo ou não. Se for conservativo, determine uma função f tal que $\mathbf{F} = \nabla f$.

13. $\mathbf{F}(x, y, z) = y^2z^3 \mathbf{i} + 2xyz^3 \mathbf{j} + 3xy^2z^2 \mathbf{k}$

14. $\mathbf{F}(x, y, z) = xyz^2 \mathbf{i} + x^2yz^2 \mathbf{j} + x^2y^2z \mathbf{k}$

15. $\mathbf{F}(x, y, z) = 3xy^2z^2 \mathbf{i} + 2x^2yz^3 \mathbf{j} + 3x^2y^2z^2 \mathbf{k}$

16. $\mathbf{F}(x, y, z) = \mathbf{i} + \sin z \mathbf{j} + y \cos z \mathbf{k}$

17. $\mathbf{F}(x, y, z) = e^{yz} \mathbf{i} + xze^{yz} \mathbf{j} + xye^{yz} \mathbf{k}$

18. $\mathbf{F}(x, y, z) = e^x \sin yz \mathbf{i} + ze^x \cos yz \mathbf{j} + ye^x \cos yz \mathbf{k}$

19. Existe um campo vetorial \mathbf{G} em \mathbb{R}^3 tal que $\text{rot } \mathbf{G} = \langle x \sin y, \cos y, z - xy \rangle$? Explique.

20. Existe um campo vetorial \mathbf{G} em \mathbb{R}^3 tal que $\text{rot } \mathbf{G} = \langle xyz, -y^2z, yz^2 \rangle$? Explique.

21. Mostre que qualquer campo vetorial da forma

$$\mathbf{F}(x, y, z) = f(x) \mathbf{i} + g(y) \mathbf{j} + h(z) \mathbf{k}$$

onde f, g e h são diferenciáveis, é irrotacional.

22. Mostre que qualquer campo vetorial da forma

$$\mathbf{F}(x, y, z) = f(y, z) \mathbf{i} + g(x, z) \mathbf{j} + h(x, y) \mathbf{k}$$

é incompressível.

23–29 Demonstre a identidade, admitindo que as derivadas parciais apropriadas existem e são contínuas. Se f for um campo escalar e \mathbf{F}, \mathbf{G} forem campos vetoriais, então $f\mathbf{F}, \mathbf{F} \cdot \mathbf{G}$ e $\mathbf{F} \times \mathbf{G}$ serão definidos por

$$(f\mathbf{F})(x, y, z) = f(x, y, z) \mathbf{F}(x, y, z)$$

$$(\mathbf{F} \cdot \mathbf{G})(x, y, z) = \mathbf{F}(x, y, z) \cdot \mathbf{G}(x, y, z)$$

$$(\mathbf{F} \times \mathbf{G})(x, y, z) = \mathbf{F}(x, y, z) \times \mathbf{G}(x, y, z)$$

23 $\text{div}(\mathbf{F} + \mathbf{G}) = \text{div } \mathbf{F} + \text{div } \mathbf{G}$

24. $\text{rot}(\mathbf{F} + \mathbf{G}) = \text{rot } \mathbf{F} + \text{rot } \mathbf{G}$

25. $\text{div}(f\mathbf{F}) = f \text{div } \mathbf{F} + \mathbf{F} \cdot \nabla f$

26. $\text{rot}(f\mathbf{F}) = f \text{rot } \mathbf{F} + (\nabla f) \times \mathbf{F}$

27. $\text{div}(\mathbf{F} \times \mathbf{G}) = \mathbf{G} \cdot \text{rot } \mathbf{F} - \mathbf{F} \cdot \text{rot } \mathbf{G}$

28. $\text{div}(\nabla f \times \nabla g) = 0$

29. $\text{rot}(\text{rot } \mathbf{F}) = \text{grad}(\text{div } \mathbf{F}) - \nabla^2 \mathbf{F}$

30–32 Sejam $\mathbf{r} = x \mathbf{i} + y \mathbf{j} + z \mathbf{k}$ e $r = |\mathbf{r}|$.

30. Verifique as identidades.

(a) $\nabla \cdot \mathbf{r} = 3$

(b) $\nabla \cdot (r\mathbf{r}) = 4r$

(c) $\nabla^2 r^3 = 12r$

31. Verifique as identidades.

(a) $\nabla r = \mathbf{r}/r$

(b) $\nabla \times \mathbf{r} = \mathbf{0}$

(c) $\nabla(1/r) = -\mathbf{r}/r^3$

(d) $\nabla \ln r = \mathbf{r}/r^2$

32. Se $\mathbf{F} = \mathbf{r}/r^p$, determine $\text{div } \mathbf{F}$. Existe um valor de p para que $\text{div } \mathbf{F} = 0$?

33. Use o Teorema de Green na forma da Equação 13 para demonstrar a **primeira identidade de Green**:

$$\iint_D f \nabla^2 g \, dA = \oint_C f(\nabla g) \cdot \mathbf{n} \, ds - \iint_D \nabla f \cdot \nabla g \, dA$$

onde D e C satisfazem as hipóteses do Teorema de Green e as derivadas parciais apropriadas de f e g existem e são contínuas. (A quantidade $\nabla g \cdot \mathbf{n} = D_n g$ aparece na integral de linha. Essa é a derivada direcional na direção do vetor normal \mathbf{n} e é chamada **derivada normal** de g .)

34. Use a primeira identidade de Green (Exercício 33) para demonstrar a **segunda identidade de Green**:

$$\iint_D (f \nabla^2 g - g \nabla^2 f) \, dA = \oint_C (f \nabla g - g \nabla f) \cdot \mathbf{n} \, ds$$

onde D e C satisfazem as hipóteses do Teorema de Green e as derivadas parciais apropriadas de f e g existem e são contínuas.

35. Lembre-se, da Seção 14.3, de que uma função g é chamada **harmônica** em D se satisfaz a equação de Laplace, isto é, $\nabla^2 g = 0$ em D . Utilize primeira identidade de Green (com as mesmas hipóteses que no Exercício 33) para mostrar que se g é harmônica em D , então $\oint_C D_n g \, ds = 0$. Aqui, $D_n g$ é a derivada normal de g definida no Exercício 33.

36. Use a primeira identidade de Green para mostrar que se f for harmônica em D , e se $f(x, y) = 0$ na curva limite C , então $\iint_D |\nabla f|^2 \, dA = 0$. (Suponha que são válidas as mesmas hipóteses que no Exercício 33.)

37. Este exercício ilustra a relação entre vetor rotacional e rotações. Seja B ser um corpo rígido girando sobre o eixo z . A rotação